

مطالعات جغرافیایی مناطق خشک

دوره هفتم، شماره بیستم و پنجم، پاییز ۱۳۹۵

تأیید نهایی: ۱۳۹۵/۰۷/۱۸

درباره مقاله: ۱۳۹۵/۰۱/۲۵

صفحه ۹۶-۷۶

ارزیابی اثرات تغییر اقلیم بر رواناب با استفاده از مدل هیدرولوژیکی - توزیعی WetSpa با رویکرد احتمالاتی و تحلیل عدم قطعیت (مطالعه‌ی موردی: حوضه‌ی رود زرد واقع در استان خوزستان)

حدیثه خدابخشی سورشجانی*، دانشجوی کارشناسی ارشد مهندسی منابع آب - دانشگاه شهرکرد
رسول میرعباسی نجف‌آبادی، استادیار گروه مهندسی آب - دانشگاه شهرکرد
محمدعلی نصر اصفهانی، استادیار گروه مهندسی آب - دانشگاه شهرکرد
رضا زمانی، دانشجوی دکتری مهندسی منابع آب - دانشگاه شهید چمران اهواز

چکیده

مطالعه‌ی حاضر، به بررسی اثرات تغییر اقلیم بر رواناب در حوضه‌ی رود زرد واقع در استان خوزستان پرداخته است. در این مطالعه، از ترکیب ۱۴ مدل گردش عمومی تحت دو سناریوی انتشار A2 و B1 برای شبیه‌سازی متغیرهای اقلیمی در دوره‌ی آتی (۲۰۵۴-۲۰۲۵) نسبت به دوره‌ی پایه (۱۹۷۱-۲۰۰۰) استفاده شده است. از یک رویکرد وزنی میانگین دما و بارش مشاهده‌ای برای ترکیب مدل‌های GCM استفاده گردید. همچنین روش ترکیبی، عامل تغییر (CF) و مدل LARS_WG برای ریزمقیاس‌نمایی داده‌ها و مدل هیدرولوژیکی- توزیعی WetSpa برای شبیه‌سازی فرآیند بارش- رواناب در شرایط پایه (۱۹۹۱-۱۹۹۷) و آتی (۲۰۵۴-۲۰۲۵) به کار گرفته شده است. نتایج، نشان‌دهنده‌ی عملکرد قابل قبول مدل WetSpa در شبیه‌سازی فرآیند بارش- رواناب است. همچنین نتایج حاصل از ارزیابی اثرات تغییر اقلیم بر دما و بارندگی سالانه در دوره‌ی آتی حاکی از انتظار افزایش دما و کاهش بارندگی به میزان ۱/۵۱ (۱/۳) درجه‌ی سانتی‌گراد و ۷/۱۷ (۴/۶۲) درصد به ترتیب تحت حالت متوسط سناریوی انتشار A2 است؛ علاوه بر این، نتایج حاصل از بررسی اثرات تغییر اقلیم بر رواناب، حاکی از کاهش رواناب سالانه به میزان ۱۴/۵۳ (۱۲/۳۶) درصد تحت حالت متوسط سناریوی انتشار (B1) است. این نتایج با تغییرات افزایشی دما و کاهشی بارش تطابق دارد. نتایج این مطالعه می‌تواند در مدیریت منابع آب حوضه‌ی رود زرد و تخصیص بهینه از سد جره که در خروجی حوضه قرار دارد، مورد استفاده قرار گیرد.

واژگان کلیدی: مدل‌های GCM، LARS-WG، مدل بارش- رواناب، WetSpa، آنالیز عدم قطعیت.

این مقاله برگرفته از پایان‌نامه‌ی کارشناسی ارشد می‌باشد.

* Email: Hkhodabakhshi93@gmail.com

نویسنده‌ی مسئول:

۱- مقدمه

تغییرات رفتار اقلیمی یک منطقه را در مقایسه با رفتاری که در طول یک افق زمانی بلندمدت منطقه از اطلاعات ثبت شده و مشاهده شده انتظار می‌رود تغییر اقلیم می‌نامند. امروزه موضوع تغییر اقلیم به دلیل پیامدهای زیست محیطی، اقتصادی، اجتماعی و حتی سیاسی، یکی از مهم‌ترین چالش‌های قرن حاضر تبدیل شده است (IPCC، ۲۰۰۱ و ۲۰۰۷). به دلیل اهمیت تأثیر این پیامدها در برنامه‌ریزی‌های کلان یک کشور، دغدغه‌ی زیادی در بین محققان برای بررسی وقوع تغییرات اقلیمی و میزان تأثیرگذاری آن بر منابع مختلف و تحلیل علمی آن ایجاد کرده است. یکی از این موضوعات، تحلیل اثرات تغییر اقلیم بر فرآیندهای هیدرولوژیکی و منابع آب است. هدف از انجام این مطالعه، بررسی احتمالاتی اثر تغییر اقلیم بر رواناب با تحلیل عدم قطعیت در حوضه‌ی آبخیز رود زرد واقع در استان خوزستان است. در این مطالعه، از ترکیب ۱۴ مدل اقلیمی گردش عمومی (GCM)^۱ تحت دو سناریوی انتشار A2 و B1 برای شبیه‌سازی متغیرهای اقلیمی در دوره‌ی آتی (۲۰۵۴-۲۰۲۵) نسبت به دوره‌ی پایه (۱۹۷۱-۲۰۰۰) استفاده شده است. هم‌چنین روش وزن‌دهی (MOTP)^۲ برای استفاده‌ی ترکیبی مدل‌های گردش عمومی، روش ترکیبی عامل تغییر (CF)^۳ و مدل LARS_WG^۴ برای ریزمقیاس سازی و مدل هیدرولوژیکی- توزیعی WetSpa^۵ به منظور شبیه‌سازی بارش- رواناب کار گرفته شده است.

با توجه به ضرورت و اهمیت تغییرات اقلیمی و تأثیر آن بر جنبه‌های مختلف زندگی، به خصوص بر منابع آبی در سال‌های آتی، مطالعات بسیاری در سال‌های اخیر در این زمینه انجام گرفته است که به برخی از آن‌ها اشاره می‌شود. ماجون^۶ و همکاران (۲۰۱۲) در مطالعه‌ای به ارزیابی اثرات تغییر اقلیم بر منابع آب حوضه‌ی رودخانه گالگو در اسپانیا پرداختند. نتایج این مطالعه حاکی از افزایش میانگین دمای سالانه بیشتر از ۳ درجه‌ی سانتی‌گراد و کاهش بارش سالانه و کاهش مقدار آب قابل دسترس برای آبیاری و تولید برقای است. هم‌چنین نتایج مطالعه لی^۷ و همکاران (۲۰۱۴: ۵۱۷-۵۲۶) که به بررسی اثرات تغییر اقلیم بر رواناب در منطقه‌ای واقع در جنوب شرقی فلات تبت پرداختند، نشان داد که رواناب در دوره‌های آتی با افزایش پیش‌بینی شده است. هم‌چنین مطالعه دهال^۸ و همکاران (۲۰۱۶: ۱۷-۱) در زمینه بررسی اثرات تغییر اقلیم بر فرآیندهای هیدرولوژیکی حوضه‌ی باگماتی در نیال نشان از افزایش بارش سالانه دارد؛ به گونه‌ای که بیشترین میزان بارش در تابستان (بارش‌های موسمی) متمرکز است. در مطالعه‌ی دیگر آشفته و بزرگ حداد (۱۳۹۲: ۳۷-۵۲) به ارائه رویکرد احتمالاتی ارزیابی آثار تغییر آب و هوای رود ایدوغموش آذربایجان شرقی پرداختند. نتایج این مطالعه حاکی از کاهش متوسط رواناب سالانه در دوره‌های آتی نسبت به دوره‌ی پایه، کاهش جریان‌های متوسط و زیاد و هم‌چنین افزایش حجم کل رواناب در جریان‌های کم است. علاوه بر این، در این مطالعه همبستگی گروه زمانی با استفاده از احتمال انتقال جریان نیز مورد بررسی قرار گرفت که نتایج حاصل، نشان از پایین بودن ضریب همبستگی و بالا بودن شاخص‌های خطای داشت. قاسمی و همکاران (۱۳۹۲: ۳۷-۵۲) به ارزیابی تأثیر تغییر اقلیم بر رواناب با رویکرد عدم قطیت!! مدل‌های گردش عمومی جو در حوضه‌ی شهرچای ارومیه پرداختند. نتایج این مطالعه حاکی از افزایش دما در دوره‌ی آتی بین ۰/۱ تا ۰/۵۳ درجه‌ی سانتی‌گراد و نوسانات بارش بین ۳۴ تا ۴۶ درصد نسبت به دوره‌ی پایه بوده است. هم‌چنین تغییرات رواناب در دوره‌ی آتی نسبت به دوره‌ی پایه در فصل پاییز و زمستان افزایشی و در فصل بهار کاهشی پیش‌بینی شده است. خدیر (۱۳۹۴) به مطالعه‌ی تأثیر تغییر اقلیم بر رواناب

1- General Circulation Models

2- Mean Observed Temperature Precipitation

3- Change Factor

4- Long Ashton Research Station Weather

5- Water and Energy Transfer between Soil, Plants and Atmosphere

6- Majone

7- Li

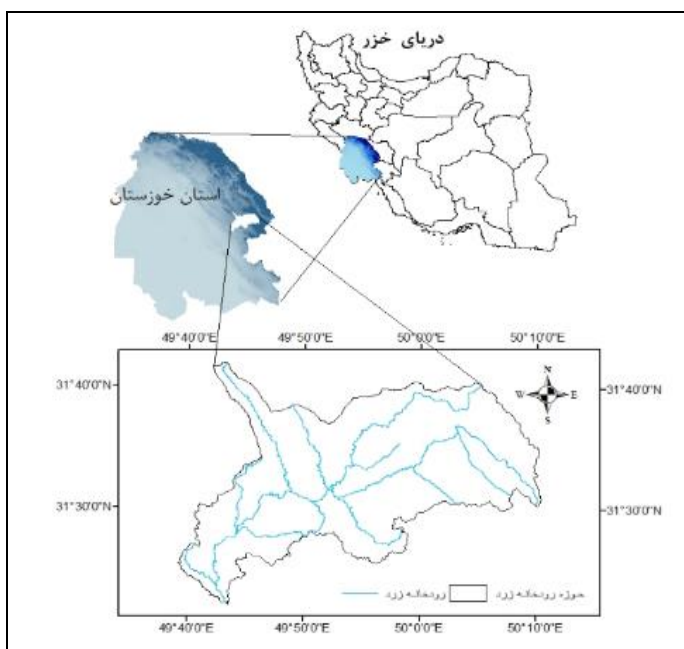
8- Dahal

حوضه‌ی آبریز تالار در استان مازندران پرداخت. نتایج این مطالعه نشان داد که حدود دما در فصل زمستان در دوره‌ی ۲۰۶۴-۲۰۴۶ تا ۴ درجه‌ی سانتی‌گراد و در دوره‌ی ۲۰۸۱-۲۱۰۰، ۷ الی ۹ درجه‌ی سانتی‌گراد افزایش می‌یابد. هم‌چنین میانگین سالانه دبی خروجی ایستگاه تالار برای دوره‌ی آینده دور حادقل ۱ و حداکثر ۲/۸ مترمکعب بر ثانیه کاهش می‌یابد. لکزائیان‌پور و همکاران (۱۳۹۵: ۱۸۳-۱۹۸) به ارزیابی آثار تغییر اقلیم بر میزان رواناب رودخانه‌ی نازل‌چای در حوضه‌ی آبریز دریاچه‌ی ارومیه پرداختند. نتایج این مطالعه حاکی از افزایش دما، بارندگی و رواناب در دوره‌ی آتی تحت دو سناریوی انتشار A2 و B1 است. در مطالعه‌ی دیگر قربانی و همکاران (۱۳۹۵: ۱۹-۳۴) به بررسی اثر تغییر اقلیم بر روند ماهانه رودخانه در حوضه‌ی آبریز گالیش پرداختند. نتایج تحلیل اقلیم آن‌ها نشان داد که در حوضه‌ی گالیش تحت سناریوهای مختلف، دمای هوا در ماههای مختلف سال افزایش پیدا می‌کند، اما متوسط مجموع بارش سالانه کاهش می‌یابد.

علاوه بر این، مطالعات نسبتاً زیادی در زمینه‌ی استفاده از مدل WetSpa جهت شبیه‌سازی فرآیندهای هیدرولوژیکی در نواحی مختلف جغرافیایی و آب و هوایی و در توپوگرافی‌های متنوع و همچنین در حوضه‌های کوچک تا خیلی بزرگ انجام گرفته است. همگی این مطالعات بیانگر توانایی قابل قبول مدل WetSpa در شبیه‌سازی جریان اعم از سیل و یا جریان روزانه رودخانه بوده است. علاوه بر این، مدل WetSpa به محققان این امکان را داده که تأثیر عوامل مختلف مانند تغییر اقلیم و یا تغییر کاربری را بر جریان خروجی حوضه و همچنین بر مؤلفه‌های بیلان آبی و پدیده‌های هیدرولوژیک مختلف حوضه به صورت توزیعی بررسی نمایند. از جمله این مطالعات می‌توان به مطالعه‌ی صفری و همکاران (۲۰۱۲: ۷۸-۸۹) در به کاربردن مدل هیدرولوژیکی توزیعی WetSpa در پروژه‌ای در آمریکا DMIP2^۳ اشاره کرد. نتایج حاصل از این مطالعه نشان‌دهنده‌ی توانایی بالای مدل در شبیه‌سازی فرآیندهای هیدرولوژیکی در این حوضه بوده است. همچنین در مطالعه‌ی دیگر وربرین^۴ و همکاران (۱۳۹۴: ۹۲-۲۰) تأثیر تغییرات و گسترش محدوده‌ی شهری بر دبی ساعتی حوضه‌ی آبریز رودخانه تولکا در کشور ایرلند را با استفاده از مدل WetSpa مورد بررسی قراردادند. آن‌ها به این نتیجه رسیدند که با گسترش محدوده‌ی شهری، زمان تا اوج سیلاب کاهش یافته و ضریب رواناب و دبی اوج به طور قابل نوجوه‌ی افزایش یافته است. همچنین مرادی‌پور و همکاران (۱۳۹۴: ۵۵-۶۴) به بررسی تولید رواناب در حوضه‌ی آبخیز طالقان با استفاده از مدل WetSpa پرداختند. نتایج این مطالعه حاکی از کارایی بالای مدل در شبیه‌سازی‌ها در این حوضه با ضریب نش-ساتکلیف ۸۳/۳ درصد است. آذین‌مهر و همکاران (۱۳۹۵: ۷۲-۸۲) به شبیه‌سازی هیدرولوگراف جریان در حوضه‌ی آبریز دینور واقع در بالادست سد کرخه در استان کرمانشاه با استفاده از مدل WetSpa پرداختند. نتایج آن‌ها نشان داد مدل هیدرولوگراف روزانه را طبق معیار نش-ساتکلیف ۶۶ درصد، با صحت قابل قبولی پیش‌بینی کرده است. علاوه بر این مطالعات، مطالعات متعدد دیگری در زمینه‌ی استفاده از این مدل در شبیه‌سازی فرآیندهای هیدرولوژیکی انجام شده است؛ از جمله می‌توان به مطالعه‌ی دهقانی و همکاران (۱۳۹۲: ۲۵۳-۲۶۱) در حوضه‌ی آبخیز کسیلیان، کبیر و بهره‌مند (۱۳۹۲: ۸۱-۹۷) در حوضه‌ی آبریز گران‌رود استان گلستان، نامقی و همکاران (۱۳۹۲: ۱۰۷۶-۱۰۶۷) در حوضه‌ی آبریز اترک در استان خراسان شمالی، الماسی (۱۳۹۳: ۱) در حوضه‌ی آبخیز بازفت در استان چهارمحال و بختیاری، جاویدان و بهره‌مند (۱۳۹۴: ۲۶۴-۲۳۳) در حوضه‌ی آبخیز زیارت در استان گرگان، فروتن دانش و همکاران (۱۳۹۴: ۷-۲۰۰-۲۲۰) در حوضه‌ی آبریز زیارت استان گلستان، صادقی و همکاران (۱۳۹۴: ۲۳-۳۳) در حوضه‌ی ناورود در استان گیلان و کریمی و همکاران (۲۰۱۶) در حوضه‌ی دهنو استان لرستان اشاره کرد.

۲- منطقه‌ی موردمطالعه

منطقه‌ی موردمطالعه، حوضه‌ی رودخانه‌ی زرد می‌باشد که در جنوب غرب ایران، در استان خوزستان در محدودی رشته‌کوه‌های زاگرس و در محدوده‌ی جغرافیایی^۱ ۳۱°-۴۲° عرض شمالی و ۵۰°-۴۹° طول شرقی واقع شده است. مساحت این حوضه‌ی آبخیز تا محل سد جره حدود ۸۱۰ کیلومترمربع است. قسمت اعظم این حوضه‌ی آبخیز کوهستانی بوده؛ به‌گونه‌ای که ارتفاع بلندترین نقطه‌ی این حوضه حدود ۳۳۰۰ متر و ارتفاع متوسط حوضه نیز حدود ۶۶۲ میلی‌متر می‌باشد. همچنین در پایین دست این حوضه، سد مخزنی جره قرار دارد که از جمله اهداف آن می‌توان به تأمین آب موردنیاز زمین‌های کشاورزی دشت رامهرمز به وسعت حدود ۲۲ هزار هکتار، کنترل سیلان رودخانه‌ی زرد و امکان تولید انرژی برق آبی به میزان ۴۸ گیگاوات ساعت در سال اشاره کرد. موقعیت حوضه‌ی رود زرد در شکل ۱ ارائه شده است.



شکل ۱: موقعیت حوضه‌ی رودخانه‌ی زرد در کشور ایران

۳- مواد و روش‌ها

۳-۱- مدل‌های GCM و تولید سناریو

از میان مدل‌های اقلیمی، معتبرترین روش جهت شبیه‌سازی متغیرهای اقلیمی در دوره‌های آتی تحت تأثیر تغییر اقلیم، استفاده از مدل‌های GCM است (میچل^{۱۱}؛ ۲۰۰۳^۱؛ ۲۰۰۶^{۱۲}؛ ویلبی و هریس^{۱۳}؛ ۲۰۰۶^{۱۲}). در مطالعه‌ی حاضر، به‌منظور لحاظ کردن عدم قطعیت ناشی از خروجی مدل‌های گردش عمومی، ترکیبی از ۱۴ مدل گردش عمومی (جدول ۱) تحت دو خانواده‌ی سناریوی انتشار A2 و B1 به‌کار گرفته شده است. موضوع محتوایی خانواده‌ی سناریو انتشار A2 تمرکز بر رشد سریع جمعیت همراه با توسعه‌ی فناوری و اقتصادی کند تا سال ۲۱۰۰ می‌باشد؛ در حالی که موضوع محتوایی خانواده‌ی سناریوی انتشار B1 از لحاظ جمعیت، جمعیت جهان در اواسط قرن ۲۱ به اوج خود رسیده

11- Mitchell

12- Wilby and Harris

و بعد از آن کاهش می‌باید و از لحاظ اقتصادی، تأکید بر پایداری اقتصاد محیط‌زیست دارد و دارای دیدگاه اقتصاد جهانی است (IPCC، ۲۰۰۷). بهمنظور تولید سناریوی اقلیمی، متغیرهای ماهانه‌ی اقلیمی (دما و بارش) ۱۴ مدل GCM تحت دو سناریوی مذکور برای دوره‌ی پایه ۱۹۷۱-۲۰۰۰ و دوره‌ی آینده ۲۰۲۵-۲۰۵۴ از مرکز توزیع داده IPCC استخراج شد. سپس بهمنظور حذف اختشاشات ناشی از بزرگ بودن خروجی مدل‌های GCM در شبیه‌سازی نوسانات اقلیمی، بهجای استفاده‌ی مستقیم از داده‌های خروجی این مدل‌ها در محاسبات، از میانگین دوره‌ای بلندمدت این داده‌ها استفاده شد. به صورتی که برای محاسبه تغییرات میانگین بلندمدت متغیرهای اقلیمی ماهانه برای هر یک از مدل‌ها، از مقادیر اختلاف برای مقادیر ماهانه دما و نسبیت برای مقادیر بارش، برای دوره‌های پایه و آینده، مطابق روابط ۱ و ۲ استفاده شد که درواقع این عمل همان تولید داده‌ی اقلیمی است که به این رویکرد، روش ریزمقیاس‌نمایی به روش CF نیز گفته می‌شود.

$$\Delta T_i = (\bar{T}_{GCM, fut_i} - \bar{T}_{GCM, base_i}) \quad \text{رابطه ۱}$$

$$\Delta P_i = \left(\frac{\bar{P}_{GCM, fut_i}}{\bar{P}_{GCM, base_i}} \right) \quad \text{رابطه ۲}$$

که در روابط بالا، ΔT_i و ΔP_i به ترتیب بیانگر تغییرات میانگین بلندمدت دما و بارش ماهانه برای ماه i است. \bar{T}_{GCM, fut_i} و \bar{P}_{GCM, fut_i} میانگین بلندمدت بارش و دمای ماهانه برای i امین ماه، که توسط مدل‌های GCM تحت سناریوهای مذکور برای دوره‌ی آینده شبیه‌سازی شده است. $\bar{T}_{GCM, base_i}$ و $\bar{P}_{GCM, base_i}$ میانگین بلندمدت بارش و دمای ماهانه برای i امین ماه که توسط مدل‌های GCM تحت سناریوهای مذکور برای دوره‌ی پایه شبیه‌سازی شده است. این رویکرد توسط ویبلی و هریس (۲۰۰۶: ۱۰۰-۱)، مرید و مساح بوانی (۲۰۰۸: ۲۲۶-۲۳۸) و زارعیان و همکاران (۱۵: ۴۹۷-۵۱۶) به کار گرفته شده است.

جدول ۱: مشخصات ۱۴ مدل GCM از چهارمین گزارش ارزیابی (AR4)

ردیف	مدل GCM	مرکز تحقیقات	دقیقت شبکه (درجه)
۱	CSIRO-MK3	کشورهای مشترک‌المنافع علمی و سازمان تحقیقات صنعتی (CSIRO)	۱/۹ × ۱/۹
۲	CGCM3 (T63)	مرکز مدل‌سازی اقلیم و تجزیه و تحلیل (CCCma)	۱/۹ × ۱/۹
۳	CNRM-CM3	مرکز ملی مطالعات هواشناسی (CNRM)	۱/۹ × ۱/۹
۴	IPSL-CM4	مؤسسه‌ی (IPSL)	۲/۵ × ۳/۷۵
۵	ECHAM5-OM	مؤسسه‌ی (MPI-M)	۱/۹ × ۱/۹
۶	CCSM3	مؤسسه‌ی (NCAR)	۱/۴ × ۱/۴
۷	MRI-CGCM2.3.2	مؤسسه‌ی ملی مطالعات زیست‌محیطی (MRI)	۲/۸ × ۲/۸
۸	BCM2	مرکز (BCCR)	۱/۹ × ۱/۹
۹	INM-CM3	مؤسسه‌ی ریاضیات عددی (INM)	۴ × ۵
۱۰	HadCM3	اداره‌ی هواشناسی بریتانیا (UKMO)	۲/۵ × ۳/۷۵
۱۱	GFDL-CM2	آزمایشگاه ژئوفیزیک دینامیک سیالات (GFDL)	۲ × ۲/۵
۱۲	ECHO-G	مؤسسه‌ی (MIUB)	۳/۹ × ۳/۹
۱۳	GISS-E-R	مؤسسه‌ی (GISS)	۴ × ۵
۱۴	PCM	مؤسسه‌ی (NCAR)	۲/۸ × ۲/۸

۲- وزن دهنده مدل های GCM و بررسی احتمالاتی

پس از تعیین محدوده های تغییرات میانگین بلندمدت متغیرهای اقلیمی ماهانه هر یک از ۱۴ مدل GCM، به منظور برآورد عدم قطعیت حاصل از خروجی مدل های GCM از روش تابع چگالی احتمال استفاده شد. به این صورت که در این روش به هر یک از مدل ها با نوجه به توانایی آن مدل در شبیه سازی متغیرهای اقلیمی مشاهداتی که از تفاوت بین متغیرهای بلندمدت ماهانه شبیه سازی شده، در دوره های پایه و مقادیر مشاهداتی در همان دوره حاصل می شود، وزنی تعلق می گیرد. به این روش میانگین دما و بارش مشاهده ای (MOTP) گفته می شود که از رابطه ۳ قابل محاسبه است.

$$W_{ij} = \frac{\left(\frac{1}{\Delta d_{ij}}\right)}{\sum_{j=1}^{14} \left(\frac{1}{\Delta d_{ij}}\right)} \quad \text{رابطه ۳}$$

که در آن، W_{ij} وزن ز امین مدل GCM در ماه i است و Δd_{ij} تفاوت بین میانگین دما یا بارش شبیه سازی توسط ز امین مدل GCM در i ماه در دوره های پایه با مقدار مشاهداتی در همان دوره است (گوهری و همکاران، ۲۰۱۳: ۴۰۵-۴۱۹). پس از تعیین وزن های مربوط به عملکرد مدل های GCM، به منظور تحلیل عدم قطعیت، از مقادیر تغییرات میانگین بلندمدت متغیرهای اقلیمی ماهانه (ΔT_i و ΔP_i) هر یک از ۱۴ مدل GCM و وزن های متناظر هر یک از این مدل ها به منظور ساخت تابع چگالی احتمال (PDF) برای هر ماه استفاده شد. سپس، مطابق با مطالعات مشابهی نظری تویچباین و سایبرت^۳ (۲۰۱۲: ۱۲-۲۹) و گوهری و همکاران (۲۰۱۳: ۴۰۵-۴۱۹) از تابع توزیع گامایی دو پارامتری برای تبدیل تابع چگالی احتمال به تابع توزیع تجمعی انتخاب شد. تابع توزیع گامایی دو پارامتری به صورت رابطه های ۴ و ۵ تعریف می شود:

$$f(x) = \frac{1}{\Gamma(k)b^k} x^{k-1} e^{-\frac{x}{b}} \quad x \geq 0 \quad \text{رابطه ۴}$$

$$\Gamma(k) = \int_0^{\infty} x^{k-1} e^{-x} dx \quad \text{رابطه ۵}$$

که در آن، x متغیر، k و b به ترتیب پارامتر شکل و مقیاس هستند و $\Gamma(k)$ برابر است با تابع گاما است. قابل ذکر است که پارامترهای تابع توزیع گاما (مقادیر k و b) به گونه ای تعیین شدن که بهترین برازش بر اساس روش حداقل درست نمایی با استفاده از مجموع مربعات خطا (SSE) طبق رابطه ۶ حاصل می شود.

$$SSE = \sum_{i=1}^n (y_i - y_i^*)^2 \quad \text{رابطه ۶}$$

که در آن، y_i نداده های نقطه ای، y_i^* برآورد تابع گاما و n تعداد نقاط داده است. در مرحله ای بعد، از توابع چگالی تجمعی حاصل برای هر ماه، ΔT_i و ΔP_i تحت سه حالت مختلف احتمالی ۵۰، ۷۵ و ۲۵ درصد استخراج شد، سپس با ترکیب ΔT_i و ΔP_i در سطوح احتمالاتی (۵۰، ۷۵ و ۲۵ درصد)، سه سناریویی ترکیبی ایده اال (IS)، متوسط (MS)^۱ و بحرانی (CS)^۲ برای هر یک از سناریویی های انتشار A2 و B1 تولید شد. به گونه ای که کمترین درصد در تغییرات دما به عنوان سناریوی ایده اال و بیشترین تغییرات در دما به عنوان سناریوی بحرانی در نظر گرفته شد. در مرحله ای بعد داده های اقلیمی (دما و بارش) برای دوره ای آتی (۲۰۲۵-۲۰۵۴) تحت این شش سناریویی ترکیبی و با استفاده مدل LARS-WG تولید شدند.

13- Deutschbein and Seibert

14- Ideal scenario

15- Medium scenario

16- Crisis scenario

۳-۳- ریزمقیاس‌نمایی آماری

مدل LARS-WG یکی از روش‌های آماری محسوب می‌شود. این مدل بر اساس توابع توزیع نیمه‌تجربی شروع به پیش‌بینی سری‌های زمانی روزانه متغیرهای اقلیمی و همچنین پیش‌بینی دوره‌های خشک و تر در آینده می‌کند. در مطالعه‌ی حاضر، بهمنظور کاهش عدم قطعیت ناشی از خروجی مدل LARS-WG، ۳۰۰ سال سری زمانی روزانه برای دوره‌ی آینده (۲۰۲۵-۲۰۵۴) برای متغیرهای اقلیمی تولید شد و از طریق میانگین‌گیری، سری زمانی ۳۰۰ ساله به ده سری زمانی روزانه احتمالاتی ۳۰ ساله تبدیل شد و سپس مقدار متوسط روزانه‌ی هر یک از این ده سری زمانی محاسبه شد.

۳-۴- مدل هیدرولوژیکی - توزیعی WetSpa

مدل WetSpa از جمله مدل‌های پیوسته و توزیعی بوده که باهدف پیش‌بینی انتقال آب و انرژی بین خاک، گیاهان و اتمسفر توسط وانگ و همکاران (۱۹۹۶: ۱۸۹-۱۹۳) در دانشگاه VUB بروکسل در بلژیک کدنویسی شده و سپس توسط دی‌اسمیت و همکاران (۲۰۰۰: ۲۹۵-۳۰۴) توسعه پیدا کرده است. این مدل با استفاده از اسنامه‌ی اطلاعات جغرافیایی قادر به شبیه‌سازی فرآیندهای هیدرولوژیکی حوضه به صورت (روزانه- ساعتی) است. با استفاده از این مدل می‌توان هیدرولوگراف جریان را در خروجی حوضه و یا هر نقطه‌ای از حوضه که در آن جریان به هم می‌پیوندد، با گام-های زمانی متفاوت تخمین زد (دی‌اسمیت و همکاران، ۲۰۰۰: ۳۰۴-۲۹۵).

داده‌های موردنیاز این مدل را می‌توان به دو دسته‌ی اطلاعات رقومی و داده‌های اقلیمی- هیدرولوژیکی تقسیم‌بندی نمود. اطلاعات رقومی شامل: مدل رقومی ارتفاع (DEM)، نقشه‌ی کاربری اراضی، نقشه‌ی بافت خاک حوضه می‌باشد که این نقشه‌ها از سازمان منابع طبیعی خوزستان تهیه شدند. داده‌های اقلیمی- هیدرولوژیکی شامل: بارندگی، دما و دبی خروجی حوضه می‌باشند که آمار و ارقام موردنیاز از سازمان آب و برق خوزستان تهیه شد.

۳-۵- معیارهای ارزیابی مدل WetSpa

برای ارزیابی عملکرد مدل و مقایسه‌ی نتایج از معیارهای مرسوم نظری انحراف مدل^۷ (رابطه ۷)، ضریب همبستگی اصلاح شده^۸ (رابطه ۸) و ضریب کارایی ناش- ساتکلیف^۹ (رابطه ۹) استفاده گردید. همچنین برای ارزیابی خوبی عملکرد مدل از معیار جمعی^{۱۰} (رابطه ۱۰) استفاده شد. این معیار، جنبه‌های مختلف هیدرولوگراف شبیه‌سازی شده (شکل، اندازه و حجم) را نسبت به هیدرولوگراف مشاهده‌ای ارزیابی می‌کند. جدول ۲ دسته‌بندی عملکرد مدل در برآش را تحت معیار جمعی نشان می‌دهد.

$$MB = \frac{\sum_{i=1}^N (X_s - X_m)}{\sum_{i=1}^N X_m} \quad \text{رابطه ۷}$$

$$R_{mod} = \frac{\min\{\sigma_m, \sigma_s\}}{\max\{\sigma_m, \sigma_s\}} \times R \quad \text{رابطه ۸}$$

$$NS = 1 - \frac{\sum_{i=1}^N (X_m - X_s)^2}{\sum_{i=1}^N (X_m - \bar{X}_m)^2} \quad \text{رابطه ۹}$$

$$AM = \frac{R_{mod} + NS + (1 - |MB|)}{3} \quad \text{رابطه ۱۰}$$

17- Model Bias

18- Modified Correlation Coefficient

19- Nash-Sutcliffe Efficiency

20- Aggregated Measure

در روابط بالا، X_s داده شبیه‌سازی شده، X_m داده اندازه‌گیری شده، \bar{X}_m متوسط داده اندازه‌گیری شده، σ_m انحراف معیار داده اندازه‌گیری شده، σ_s انحراف معیار شبیه‌سازی شده، R ضریب همبستگی و N تعداد داده‌های اندازه-گیری شده می‌باشد.

جدول ۲: دسته‌بندی عملکرد مدل در برآش نتایج مدل و داده‌های مشاهداتی بر اساس معیار جمعی

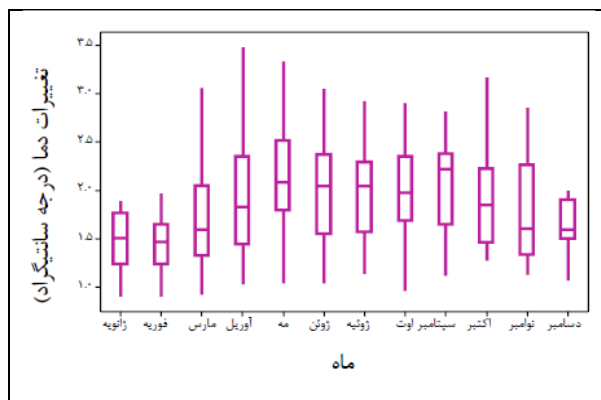
طبقه‌بندی	معیار جمعی (درصد)
عالی	>۰/۸۵
خیلی خوب	۰/۷۰-۰/۸۵
خوب	۰/۵۵-۰/۷۰
ضعیف	۰/۴۰-۰/۵۵
بسیار ضعیف	<۰/۴۰

منبع: (صفری و همکاران، ۱۲: ۸۹-۷۸)

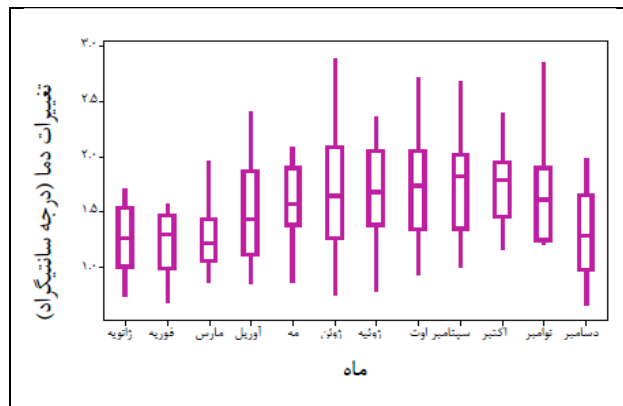
۴- نتایج و بحث

۱-۴- ارزیابی نتایج حاصل از تولید سناریوهای اقلیمی

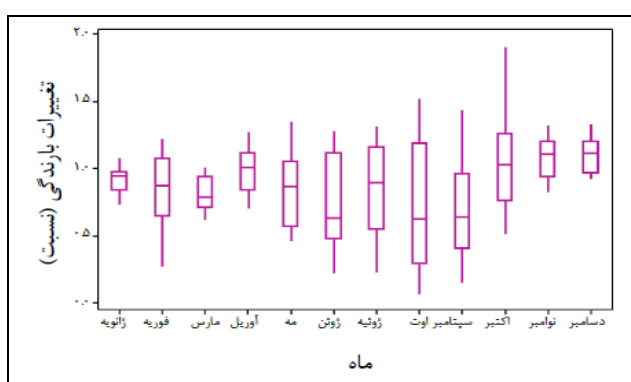
نتایج حاصل از تولید سناریوهای اقلیمی (ΔT_i و ΔP_i)، ۱۴ مدل GCM تحت دو سناریوی انتشار A2 و B1 در حوضه‌ی رود زرد برای دوره‌ی آتی (۲۰۵۴-۲۰۲۵) نسبت به دوره‌ی پایه (۱۹۷۱-۲۰۰۰) در شکل‌های ۲ تا ۵ ارائه شده است. مطابق با نتایج به‌دست‌آمده، تمام مدل‌ها افزایش در میانگین دما، ولی با میزان متفاوت را شبیه‌سازی کرده‌اند. همچنین از لحاظ تغییرات بارندگی، در همه مدل‌ها تغییرات نامنظم (کاهشی و افزایشی) در ماه‌های مختلف شبیه‌سازی شده است.



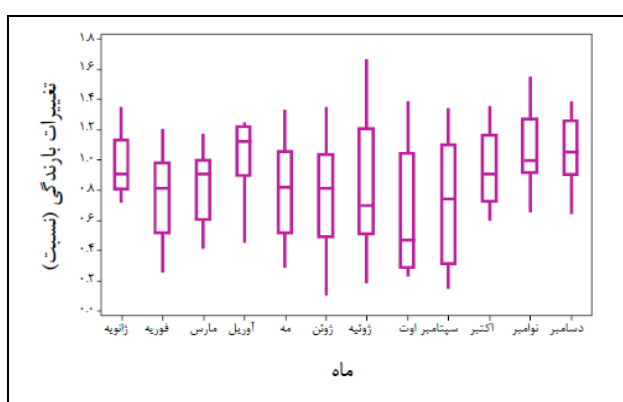
شکل ۲: تغییرات میانگین دمای ماهانه (درجه‌ی سانتی‌گراد) تحت سناریوی A2 در حوضه‌ی رود زرد



شکل ۳: تغییرات میانگین دمای ماهانه (درجهی سانتی گراد) تحت سناریوی B1 در حوضه‌ی رود زرد



شکل ۴: تغییرات میانگین بارندگی ماهانه (نسبت) تحت سناریوی A2 در حوضه‌ی رود زرد



شکل ۵: تغییرات میانگین بارندگی ماهانه (نسبت) تحت سناریوی B1 در حوضه‌ی رود زرد

۲-۴- نتایج وزن‌دهی مدل‌های GCM و بررسی احتمالاتی

قابل ذکر است که هر مدلی که وزن بیشتری به خود اختصاص دهد، به این معناست که عملکرد بهتری در شبیه‌سازی متغیرهای اقلیمی موردنظر داشته است. طبق نتایج بدست آمده از جدول ۳، در شبیه‌سازی متغیر بارندگی در دوره‌ی پایه مدل HadCM3 با کسب بیشترین وزن در پنج ماه از سال (ژانویه، فوریه، مارس، نوامبر و دسامبر) بهترین مدل ازلحاظ عملکرد در حوضه‌ی رود زرد شناخته شد. همچنین طبق جدول ۴، در شبیه‌سازی متغیر دما در دوره‌ی پایه مدل ECHAM5-OM با کسب بیشترین وزن در شش ماه از سال (مارس، آوریل، مه، ژوئن، ژوئیه و اکتبر) بهترین عملکرد را در این حوضه داشته‌اند.

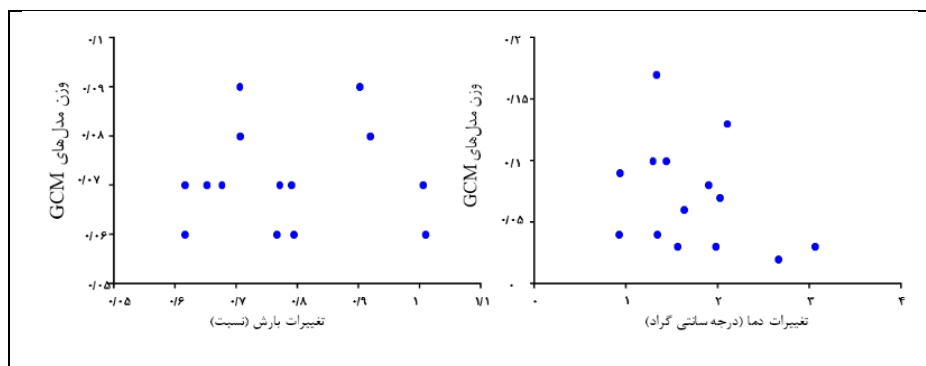
همچنین نمونه‌ای ازتابع چگالی احتمال وتابع توزیع تجمعی حاصل از وزن مدل‌های GCM و سناریوهای اقلیمی (ΔTi و ΔPi) متناظر هرماه در شکل‌های ۶ و ۷ آرائه شده است. همچنین ΔTi و ΔPi استخراج شده ازتابع توزیع تجمعی، تحت سه سطح مختلف احتمالی ۲۵، ۵۰ و ۷۵ درصد در شکل‌های ۸ تا ۱۱ آرائه شده است.

جدول ۳: وزن‌های ۱۴ مدل GCM برای متغیر بارندگی در حوضه‌ی رود زرد

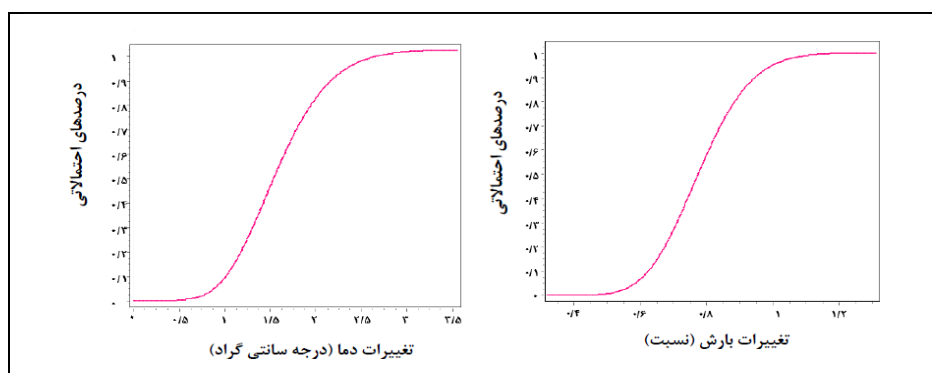
مقياس زمانی مدل	۱۰۰	۹۰	۸۰	۷۰	۶۰	۵۰	۴۰	۳۰	۲۰	۱۰	۰	-۱۰	-۲۰	-۳۰	-۴۰
IPSL-CM4	۶/۲۶	۴/۰۱	-۰/۹۲	۵/۱۵	۳/۴۸	۹/۱۲	۱/۶۸	۱۱/۲۳	۲/۰۳	۶/۷۷	۶/۶۷	۶/۸۵			
MRI-CGCM.2.3.2	۷/۰۷	۵/۰۹	۲/۲۵	۵/۸۸	۹/۸۸	۱/۸۱	۰/۰۵۶	۰/۹۵	۳/۳۷	۷/۷۵	۷/۳۴	۷/۱۲			
HadCM3	۱۱/۲۳	۳۱/۷۹	۱/۰۳	۵/۲۷	۳/۰۵	۱۰/۱۴	۱/۱۶	۲/۶۸	۱۸/۱۷	۹/۲۳	۱۰/۰۹	۹/۲۸			
CSIRO-MK3	۷/۲۴	۵/۰۸	۱/۰۸	۵/۰۵	۳/۰۵	۱۰/۰۸	۱/۶۳	۱۵/۰۵	۶/۷۸	۶/۸۲	۶/۸۹	۷/۰۵۷			
PCM	۶/۴۴	۳/۰۹	-۰/۷۴	۵/۲۸	۳/۰۵	۹/۷۲	۲۳/۲۰	۵/۱۷	۱/۸۴	۵/۸۹	۶/۱۸	۶/۳۰			
CNRM-CM3	۶/۱۸	۴/۰۸	۷۲/۸۴	۱/۰۸	-۰/۶۸	-۰/۷۴	-۰/۰۷	۱/۰۱	۴/۱۲	۸/۱۱	۷/۶۶	۷/۲۴			
BCM2	۷/۶۱	۱۰/۹۴	۱/۰۷۳	۱۰/۱۱	۴۸/۰۹	۱/۱۰	-۰/۴۰	۲/۶۰	۳۴/۸۳	۶/۶۷	۷/۳۸	۷/۱۳			
ECHAM5-OM	۷/۰۹	۵/۰۳	۱/۰۸	۵/۰۱	۳/۰۶۷	۱۳/۰۹	۳۰/۷۶	۴/۰۶	۲/۰۱	۷/۴۸	۶/۷۴	۷/۳۱			
GISS-E-R	۶/۰۳	۳/۰۹۴	-۰/۹۳	۵/۰۵	۳/۰۵	۱۰/۰۸	۷/۲۵	۴/۰۱	۱/۰۳	۵/۹۶	۶/۲۰	۶/۴۴			
ECHO-G	۶/۱۵	۴/۰۵	۳/۰۴۲	۱۵/۰۸	۳/۰۷۶	۱۵/۰۳۳	۱/۰۱	۲۶/۰۷۳	۲/۱۰	۶/۳۷	۶/۴۸	۶/۴۸			
INM-CM3	۶/۱۷	۴/۰۷	۷/۰۷	۱/۰۷۲	۶/۰۳۹	۱/۰۵۸	-۰/۰۳۹	۳/۰۴۶	۲/۱۷	۶/۳۹	۶/۳۰	۶/۳۳			
CGCM3 (T63)	۸/۰۶	۶/۰۳۴	-۰/۷۷	۸/۰۲۰	۴/۰۵۵	۳/۰۶۲	-۰/۰۴۹	-۰/۰۹۵	۱۱/۰۲	۸/۰۵۲	۷/۶۸	۷/۰۷			
GFDL-CM2	۶/۰۳۹	۴/۰۸	۱/۰۸۹	۱۱/۰۸	۳/۰۵۳	۸/۰۹۶	۲۹/۰۹	۱۳/۰۲۲	۷/۰۹۲	۷/۰۴۵	۷/۰۵۰	۶/۶۶			
CCSM3	۷/۰۰	۵/۰۰۲	۲/۰۰۵	۱۴/۰۰۳	۱/۰۸۷	۲/۰۸۲	۲/۰۲۳	۸/۰۰۸	۱/۰۹۱	۶/۰۵۹	۶/۰۸۹	۷/۰۴۳			

جدول ۴: وزن‌های ۱۴ مدل GCM برای متغیر دما در حوضه‌ی رود زرد

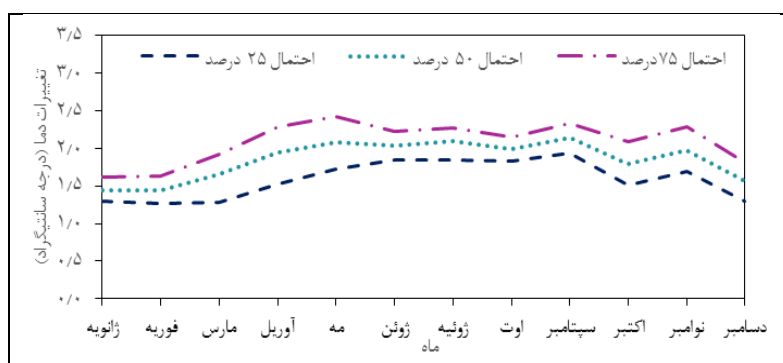
مقياس زمانی مدل	۱۰۰	۹۰	۸۰	۷۰	۶۰	۵۰	۴۰	۳۰	۲۰	۱۰	۰	-۱۰	-۲۰	-۳۰	-۴۰
IPSL-CM4	۶/۶۷	۴/۰۲	۸/۰۳۳	۴/۰۷۵	۱۲/۰۸۳	۵/۰۳۳	۱/۰۵۸	۰/۰۹۰	۶/۰۳۳	۵/۰۹۵	۵/۰۵۶	-۰/۰۴۲			
MRI-CGCM2.3.2	۶/۰۳	۳/۰۷۳	۹/۰۳۱	۳۱/۱۲	۴/۰۲۵	۷/۰۰۴	۲۵/۱۵	۸/۰۸۵	۱۰/۰۱۹	۱۰/۰۲۷	۶/۳۴	-۰/۰۴۶			
HadCM3	۴/۰۹	۲/۰۲۶	۵/۰۳۶	۲/۰۳۱	۴/۰۴۹	۴/۰۵۹	۱/۰۶۷	۴/۰۵۵	۴/۰۴۳	۴/۰۴۱	۴/۰۲۹	-۰/۰۳۲			
CSIRO-MK3	۶/۰۳	۲/۰۹۰	۵/۰۱۰	۱/۰۸۷	۳/۰۷۵	۴/۰۳۹	۲/۰۰۵	۶/۰۴۰	۶/۰۶۷	۹/۰۴	۷/۰۲۷	-۰/۰۵۰			
PCM	۳/۰۹	۱/۰۴۹	۲/۰۴۳	-۰/۰۸۳	۱/۰۰۸	۱/۰۲۵	-۰/۰۵۱	۲/۰۵۸	۲/۰۸۵	۲/۰۶۹	۲/۰۸۸	-۰/۰۲۲			
CNRM-CM3	۲/۹۸	۱/۰۶	۲/۰۹۸	۱/۰۲۳	۱/۰۱۲	۲/۰۳۴	-۰/۰۸۳	۳/۰۶۶	۳/۰۶۵	۳/۰۳۶	۲/۰۹۷	-۰/۰۲۱			
BCM2	۳/۰۲۹	۱/۰۶۴	۲/۰۸۲	۱/۰۰۲	۱/۰۶۱	۱/۰۹۲	-۰/۰۶۹	۲/۰۸۵	۲/۰۲۲	۲/۰۶۹	۲/۰۶۲	-۰/۰۲۲			
ECHAM5-OM	۸/۰۵۰	۷/۰۰۷	۲۰/۰۴۲	۲۱/۰۸	۲۶/۰۴۲	۳۲/۰۰۸	۰۳/۰۷۶	۲۷/۰۴	۲۰/۰۲۶	۱۷/۰۲۶	۸/۰۹۴	-۰/۰۴۳			
GISS-E-R	۲۹/۰۸	۵۸/۰۵	۵/۰۵۳	-۰/۰۹۸	-۰/۰۹۸	۱/۰۳۳	-۰/۰۵۹	۰/۰۳۹	۱۰/۰۱۶	۹/۰۶۹	۳۱	۹۴/۰۸۶			
ECHO-G	۷/۰۱۸	۴/۰۶۵	۹/۰۱۲	۳/۰۰۵	۴/۰۶۰	۴/۰۸۳	۲	۷/۰۰۸	۸/۰۴۲	۸/۰۰۵	۶/۰۵۵	-۰/۰۴۸			
INM-CM3	۴/۰۲۰	۱/۰۸۸	۲/۰۶۶	-۰/۰۷۸	۱/۰۰۱	۱/۰۱۶	-۰/۰۵۱	۲/۰۸۵	۳/۰۳۸	۳/۰۶۲	۴/۰۱۱	-۰/۰۳۴			
CGCM3 (T63)	۳/۰۰۸	۱/۰۵۴	۲/۰۶۶	-۰/۰۹۸	۱/۰۶۲	۱/۰۹۴	-۰/۰۷۱	۲/۰۶۳	۲/۰۵۹	۲/۰۳۲	۲/۰۷۹	-۰/۰۲۲			
GFDL-CM2	۷/۰۳۷	۴/۰۱۵	۱۳/۰۷۶	۲۳/۰۶۵	۷/۰۲۹	۲۰/۰۴۶	۴/۰۷۲	۹/۰۱۵	۹/۰۸۲	۱۳/۰۱۷	۸/۰۱۸	-۰/۰۵۹			
CCSM3	۷/۰۴۹	۴/۰۲۴	۹/۰۰۰	۰/۰۶۳	۲۷/۰۳۴	۱۱/۰۳۳	۰/۰۲۴	۱۱/۰۰۷	۸/۰۰۴	۷/۰۳۷	۶/۰۵۱	-۰/۰۵۳			



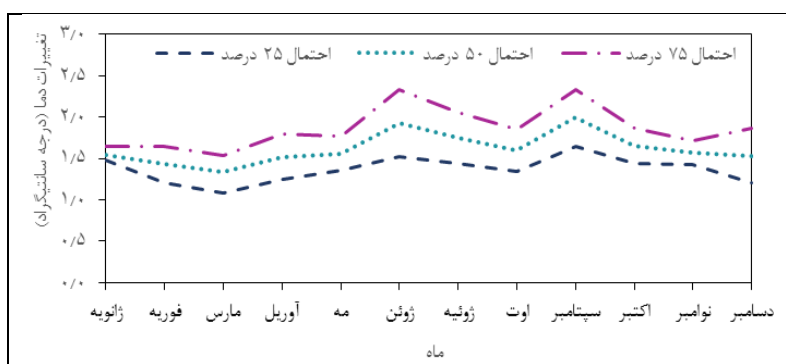
شکل ۶: PDF گسسته مقادیر ΔP_i و ΔT_i در مقابل وزن های متناظر آن ها (مارس)



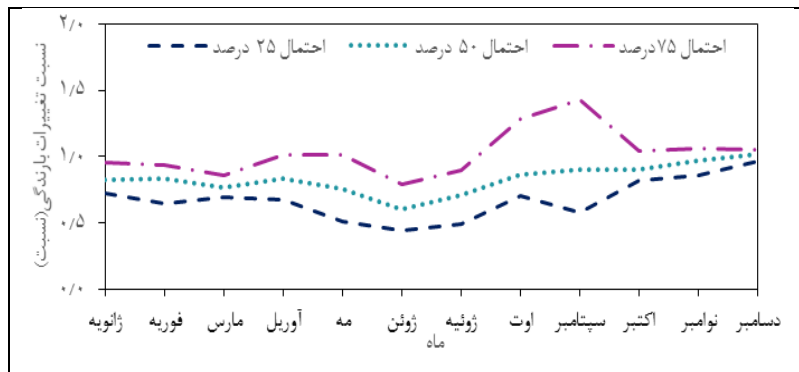
شکل ۷: توسعه یافته از PDF متناظر آن (مارس)



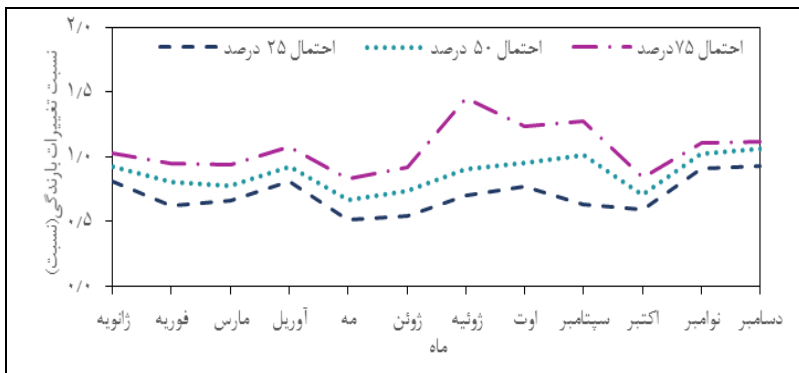
شکل ۸: تغییرات دمای ماهانه تحت سطوح احتمالاتی مختلف سناریوی A2



شکل ۹: تغییرات دمای ماهانه تحت سطوح احتمالاتی مختلف سناریوی B1



شکل ۱۰: تغییرات بارندگی ماهانه تحت سطوح احتمالاتی مختلف سناریوی A2



شکل ۱۱: تغییرات بارندگی ماهانه تحت سطوح احتمالاتی مختلف سناریوی B1

۴-۳-۴- ارزیابی اثرات تغییر اقلیم بر متغیرهای اقلیمی

نتایج تغییرات دما و بارش فصلی و سالانه حاصل از سناریوهای اقلیمی ترکیبی در جدول‌های ۵ و ۶ ارائه شده است. بر اساس نتایج حاصل، تغییرات میانگین دمای فصلی و سالانه در هر دو سناریوی انتشار A2 و B1 در دوره‌ی آینده (۲۰۵۴-۲۰۲۵) افزایشی است؛ به‌گونه‌ای که میزان افزایش دمای فصلی و سالانه در سناریوهای اقلیمی ترکیبی آینده بیش از سناریوی B1 بوده است. همچنین در هر سه سناریوی اقلیمی ترکیبی A2 و B1 بیشترین افزایش دما در فصول تابستان و پاییز پیش‌بینی شده است. به عنوان نمونه، در سه سناریوی ترکیبی (IS، CS، MS) تحت سناریوی اقلیمی A2 انتظار بیشترین افزایش دما در فصول پاییز (تابستان) به ترتیب به میزان ۲/۴۶ (۲۰۳) و ۲/۲۶ (۲۰۵) و ۲/۰۷ (۲۰۷) درجه سانتی‌گراد است. همچنین اگر حالت متوسط (MS) سناریوی اقلیمی (B1) به عنوان حالتی در نظر گرفته شود که احتمال وقوع آن در شرایط واقعی بیشتر باشد، درنتیجه انتظار تغییرات افزایشی دمای سالانه تحت این حالت سناریو به میزان ۱/۶۸ (۱/۵) درجه‌ی سانتی‌گراد است. همچنین طبق نتایج جدول ۶، تغییرات بارش در هر دو سناریوی انتشار A2 و B1 در فصول مختلف متفاوت است و در برخی از فصول افزایشی و در برخی فصول کاهشی است؛ به‌گونه‌ای که طبق نتایج به دست آمده در همه‌ی سناریوهای اقلیمی ترکیبی A2 و B1، بیشترین کاهش بارش در فصل پاییز و زمستان پیش‌بینی شده است. اگرچه طبق جدول ۶ بیشترین درصد تغییرات کاهشی مربوط به فصل تابستان است، اما در این منطقه، بارش تابستانی کم است و تغییرات کم نیز موجب بالا رفتن درصد تغییرات نیز خواهد شد. همچنین تغییرات سالانه‌ی بارش تحت سناریوی انتشار A2 (B1) برای حالت سناریوی ایده‌آل افزایش ۰/۴ (۴/۲۱) درصدی پیش‌بینی شده است، درحالی‌که برای حالت سناریوی متوسط و بحرانی به ترتیب کاهش ۷/۱۷ (۷/۱۷) درصدی و کاهش ۱۵/۳۳ (۱۵/۸۶) درصدی پیش‌بینی شده است.

جدول ۵: میزان تغییرات دما (درجه‌ی سانتی‌گراد) تحت سناریوهای ترکیبی در دوره‌ی آینده (۲۰۵۴-۲۰۲۵)

B1			A2			سناریو مقیاس زمانی
IS	MS	CS	IS	MS	CS	
۰/۴۱	۰/۶۰	۰/۷۸	۰/۶۲	۰/۹۰	۱/۱۴	بهار
۱/۴۳	۱/۶۸	۱/۹۲	۱/۷۴	۲/۰۳	۲/۰۵	تابستان
۱/۹۱	۲/۱۰	۲/۲۹	۲/۰۷	۲/۲۶	۲/۴۶	پاییز
۰/۷۲	۰/۸۵	۱/۰۱	۰/۷۴	۰/۸۴	۱/۰۹	زمستان
۱/۱۲	۱/۳۰	۱/۵۰	۱/۲۹	۱/۵۱	۱/۶۸	سالانه

جدول ۶: میزان تغییرات بارندگی (درصد) تحت سناریوهای ترکیبی در دوره‌ی آینده (۲۰۵۴-۲۰۲۵)

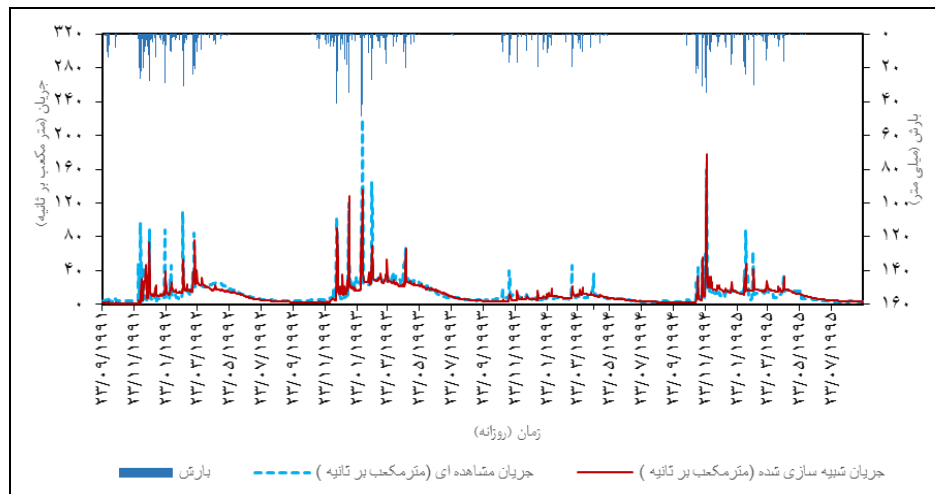
B1			A2			سناریو مقیاس زمانی
IS	MS	CS	IS	MS	CS	
۱۸/۵۴	-۰/۰۷	-۷/۲۱	۹/۵۴	-۱/۷۷	-۸/۳۲	بهار
-۶۴/۸۲	-۷۰/۴۶	-۷۵/۱۵	-۶۶/۵۶	-۷۲/۸۹	-۷۷/۸۲	تابستان
-۱۲/۷۵	-۱۸/۹۴	-۲۶/۶۶	-۱۲/۹۰	-۱۹/۳۰	-۲۵/۸۷	پاییز
۵/۱۸	-۰/۸۷	-۱۳/۱۱	۲/۱۷	-۴/۳۸	-۱۳/۶۸	زمستان
۴/۲۱	-۴/۶۲	-۱۴/۸۶	۰/۴۰	-۷/۱۷	-۱۵/۳۳	سالانه

۴-۴- ارزیابی کارایی مدل WetSpa در دوره‌ی واسنجی و اعتبارسنجی

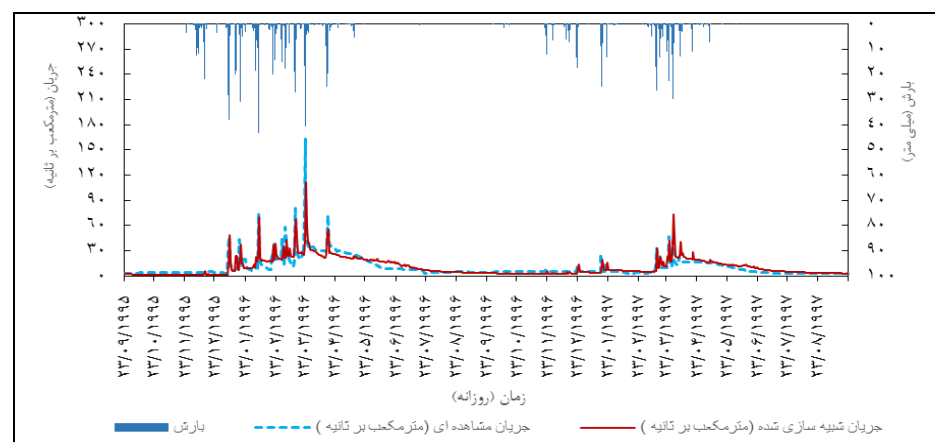
در مطالعه‌ی حاضر، بهمنظور اصلاح عملکرد مدل WetSpa و کاهش اثر عدم قطعیت در تعیین مقادیر پارامترهایی عمومی مدل برای شرایط حوضه‌ی موردمطالعه، مقادیر پارامترهای عمومی مدل در محدوده‌های مجاز با قضاوت مهندسی تا رسیدن به نتایج مناسب و رضایت‌بخش واسنجی شدند؛ به‌گونه‌ای که دوره‌ی زمانی ۲۳ سپتامبر ۱۹۹۱ تا ۲۱ سپتامبر ۱۹۹۵ به عنوان دوره‌ی واسنجی انتخاب شد. همچنین بهمنظور بررسی مناسب بودن پارامترهای بهدست‌آمده در مرحله‌ی واسنجی و بررسی کارایی مدل در دوره‌ی آماری دیگر، آزمون اعتبارسنجی مدل، با در نظر گرفتن دوره‌ی آماری ۲۳ سپتامبر ۱۹۹۵ تا ۲۲ سپتامبر ۱۹۹۷ انجام شد. نتایج حاصل از شاخص‌های ارزیابی آماری مدل در دو مرحله واسنجی و اعتبارسنجی در جدول ۷ ارائه شده است. طبق نتایج بهدست‌آمده، دقت شبیه‌سازی مدل بر اساس شاخص ناش-ساتکلیف به ترتیب برای دوره‌های واسنجی و اعتبارسنجی بیش از ۶۰ و ۵۰ درصد است. از طرف دیگر، معیار یکپارچگی، برای دوره‌ی واسنجی و اعتبارسنجی به ترتیب ۷۹/۶۶ و ۷۱/۳۳ بهدست‌آمده است که با نوجّه به جدول ۲ کارایی مدل در این حوضه در دسته‌ی خیلی خوب قرار گرفته است. بر این اساس می‌توان گفت مدل WetSpa برآورد خوبی از دبی اوج و حجم جریان داشته است. این یافته‌ها با نتایج صفری و همکاران (۸۹-۷۸: ۲۰۱۲) که از شاخص مذکور برای ارزیابی کارایی مدل هیدرولوژیکی استفاده کرده‌اند، مطابقت دارد؛ بنابراین به‌طور کلی نتایج حاکی از عملکرد خوب مدل فیزیکی- هیدرولوژیکی WetSpa در شبیه‌سازی جریان رواناب در خروجی حوضه‌ی رود زرد می‌باشد. همچنین از مقایسه‌ی هیدرولوگراف شبیه‌سازی شده و مشاهده‌ای برای دوره‌ی واسنجی و اعتبارسنجی (شکل‌های ۱۲ و ۱۳) نشان‌دهنده‌ی هم‌خوانی خوب بین دو هیدرولوگراف می‌باشد؛ به‌گونه‌ای که خصوصیات ویژه‌ی هیدرولوگراف‌ها مانند دبی پیک لحظه‌ای، زمان رسیدن به دبی اوج و حجم رواناب بین دو هیدرولوگراف در هر دو دوره، تطابق قابل قبول وجود دارد.

جدول ۷: مقادیر معیارهای عملکرد مدل در دوره‌ی واسنجی (۱۹۹۵-۱۹۹۱) و اعتبارسنجی (۱۹۹۷-۱۹۹۵)

معیار ارزیابی	Bias(%)	NS(%)	R _{mod} (%)	AM(%)
واسنجی	-۴/۷۶	۶۰/۱۱	۸۳/۶۴	۷۹/۶۶
اعتبارسنجی	۳/۳	۵۰/۴۳	۶۶/۸۸	۷۱/۳۳



شکل ۱۲: مقایسه‌ی بین جریان مشاهده‌ای و شبیه‌سازی شده‌ی روزانه برای دوره‌ی واسنجی (۱۹۹۱-۱۹۹۵) در حوضه‌ی رود زرد



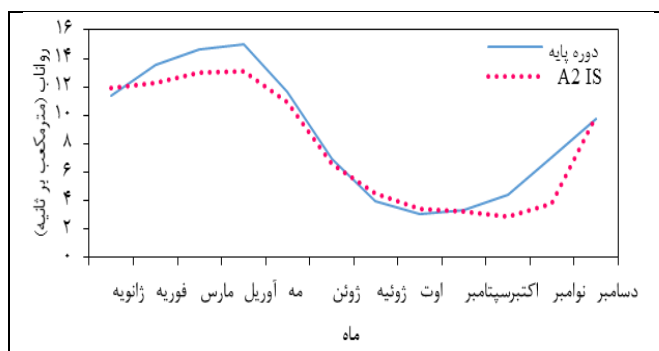
شکل ۱۳: مقایسه‌ی بین جریان مشاهده‌ای و شبیه‌سازی شده‌ی روزانه برای دوره‌ی اعتبارسنجی (۱۹۹۵-۱۹۹۷) در حوضه‌ی رود زرد

۴-۵-۴- ارزیابی اثر تغییر اقلیم بر رواناب

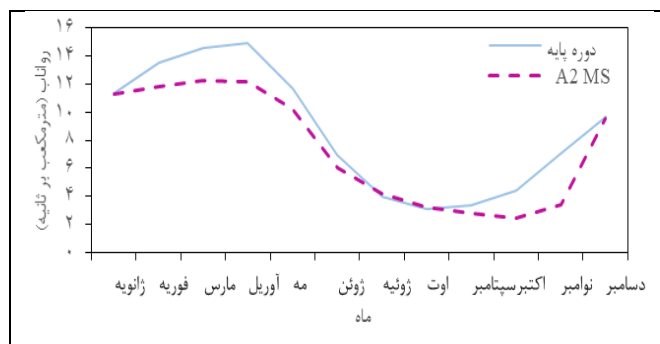
پس از عملیات واسنجی مدل WetSpa و دست‌یابی به مقادیر بهینه‌ی پارامترهای عمومی، مدل برای دوره‌ی آینده (۲۰۲۵-۲۰۵۴) با استفاده از سری‌های زمانی (دما، بارندگی و تبخیر) تولیدشده از مدل LARS-WG تحت ستاریوهای اقلیمی ترکیبی مدل WetSpa اجرا شد و نهایتاً سری زمانی روزانه‌ی رواناب در دوره‌ی آینده تحت تأثیر تغییر اقلیم شبه‌سازی شد. نتایج شبیه‌سازی رواناب ماهانه تحت ستاریوهای اقلیمی ترکیبی A2 و B1 در شکل‌های ۱۴ تا ۱۹ ارائه شده است. تغییرات رواناب تحت حالت ایده‌آل سناریوی A2 (شکل ۱۴)، به‌غیراز ۴ ماه از سال (زانویه، ژوئیه، اوت و دسامبر) که رواناب به میزان جزئی (۴۱/۰ مترمکعب بر ثانیه) افزایشی پیش‌بینی شده است، در بقیه‌ی ماهها تغییرات رواناب کاهشی بوده است. به‌طورکلی تغییرات سالانه‌ی رواناب تحت این سناریو با کاهش ۸/۵ درصدی در دوره‌ی آینده (۲۰۲۵-۲۰۵۴) پیش‌بینی شده است. همچنین تغییرات رواناب تحت حالت متوسط سناریوی A2 (شکل ۱۵)، به‌غیراز ۲ ماه از سال (ژوئیه و اوت) که رواناب به میزان جزئی (۱۵/۰ مترمکعب بر ثانیه) افزایشی

پیش‌بینی شده است، در بقیه‌ی ماه‌ها تغییرات رواناب کاهشی بوده و به‌طور کلی تغییرات رواناب سالانه تحت این سناریو در دوره‌ی آینده کاهش ۱۴/۵ درصدی خواهد داشت. همچنان تغییرات رواناب تحت حالت بحرانی سناریوی A2 (شکل ۱۶) به‌غیراز ماه اوت که تغییراتی در رواناب مشاهده نشده است، در مابقی ماه‌ها تغییرات رواناب کاهشی پیش‌بینی شده است. به‌طور کلی رواناب سالانه تحت این سناریو در دوره‌ی آینده با کاهش ۲۰/۱۷ درصدی پیش‌بینی شده است. از طرفی تغییرات رواناب تحت ایده‌آل سناریوی B1 (شکل ۱۷) به‌غیراز ۴ ماه از سال (ژانویه، زوئیه، اوت و دسامبر) که رواناب به‌طور میانگین به میزان ۷/۰ مترمکعب بر ثانیه افزایش داشته است، در بقیه‌ی ماه‌ها تغییرات رواناب کاهشی بوده و به‌طور کلی طبق نتایج حاصل تغییرات رواناب سالانه تحت این سناریو در دوره‌ی آینده با کاهش ۵/۳ درصدی پیش‌بینی شده است. همچنان طبق (شکل ۱۸) تغییرات رواناب تحت حالت متوسط سناریوی B1 به‌غیراز ۴ ماه از سال (ژانویه، زوئیه، اوت و دسامبر) که تغییرات رواناب به‌صورت افزایشی برآورد شده است (۰/۲۷)، مترمکعب بر ثانیه میانگین افزایش در ۴ ماه)، در بقیه‌ی ماه‌ها تغییرات رواناب کاهشی بوده و به‌طور کلی تغییرات رواناب سالانه تحت این سناریو در دوره‌ی آینده کاهش ۱۲/۳۶ درصدی خواهد داشت. همچنان تغییرات رواناب تحت حالت بحرانی سناریوی B1 (شکل ۱۹) به‌غیراز ۲ ماه از سال (زوئیه و اوت) که تغییرات قابل نوچه مشاهده نشده است، در بقیه‌ی ماه‌ها تغییرات رواناب کاهشی بوده و به‌طور کلی تغییرات رواناب سالانه تحت این سناریو در دوره‌ی آینده با کاهش ۱۷/۳۶ درصدی پیش‌بینی شده است.

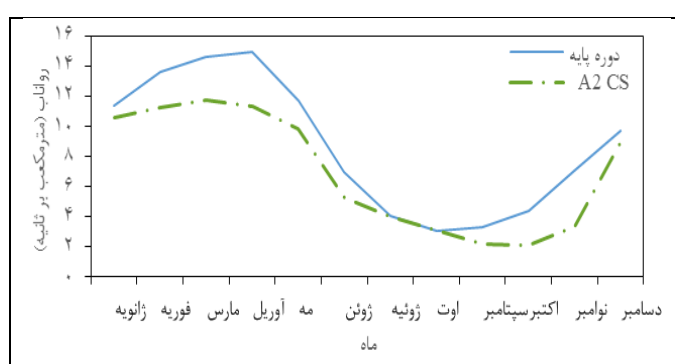
علاوه بر این، بر اساس نتایج حاصل از تغییرات فصلی رواناب (جدول ۸)، در سناریوی انتشار A2 به‌جز در سناریوی A2 IS (A2 IS) که در ماه تابستان تغییرات رواناب را به میزان ۳/۵ درصد افزایشی پیش‌بینی کرده است که این نتیجه با نوچه به افزایش دما در این فصل و ذوب برف ناشی از آن قابل توجیه می‌باشد، در مابقی فصول و سناریوهای ترکیبی تغییرات فصلی رواناب به‌صورت کاهشی پیش‌بینی شده است؛ به‌گونه‌ای که در فصل پاییز و بهار بیشترین کاهش رواناب تحت هر سه سناریوی ترکیبی IS، MS و CS پیش‌بینی شده است که این مطابق تغییرات بارندگی و افزایش دما در این فصول بوده است. همچنان در سناریوی ایده‌آل (A2 IS) که تغییرات رواناب در فصول تابستان و زمستان، به ترتیب به میزان ۸/۲۶ و ۲/۶۵ درصد افزایشی پیش‌بینی شده است که این نتیجه با نوچه به افزایش دما و ذوب ناشی از آن در ارتفاعات برای فصل تابستان و افزایش بارندگی در فصل بهار تحت این سناریو قابل توجیه است. در مابقی فصول و سناریوهای ترکیبی تغییرات فصلی رواناب به‌صورت کاهشی پیش‌بینی شده است؛ به‌گونه‌ای که بیشترین کاهش رواناب نیز تحت سناریوی انتشار B1 در فصول پاییز و بهار پیش‌بینی شده است که این نتیجه نیز با تغییرات دما و بارش موجود در این فصول قابل انتظار است و مطابق نتایج حاصل از سناریوی A2 است با این تفاوت که میزان کاهش رواناب تحت سناریوی A2 بیشتر از سناریوی B1 بوده است. به‌طور کلی تغییرات سالانه‌ی رواناب تحت تمام سناریوهای اقلیمی ترکیبی به‌صورت کاهشی پیش‌بینی شده است.



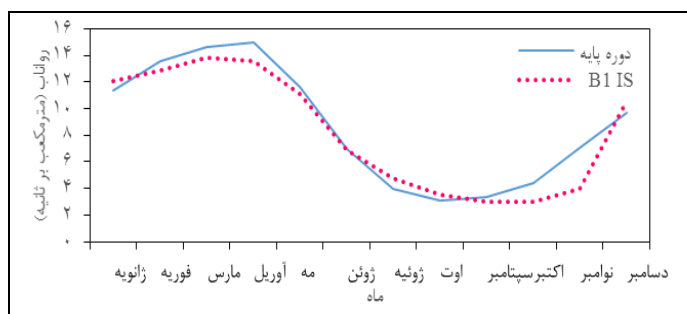
شکل ۱۴: مقایسه‌ی تغییرات رواناب ماهانه‌ی دوره‌ی پایه و دوره‌ی آینده (۲۰۲۵-۲۰۵۴) تحت سناریوی اقلیمی ترکیبی A2 IS



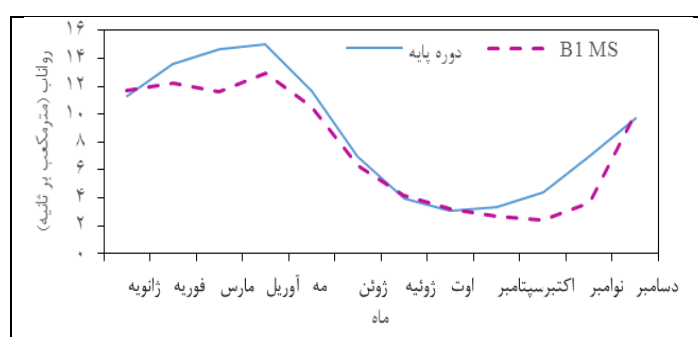
شکل ۱۵: مقایسه‌ی تغییرات رواناب ماهانه‌ی دوره‌ی پایه و دوره‌ی آینده (۲۰۵۴-۲۰۲۵) تحت سناریوی اقلیمی ترکیبی A2 MS



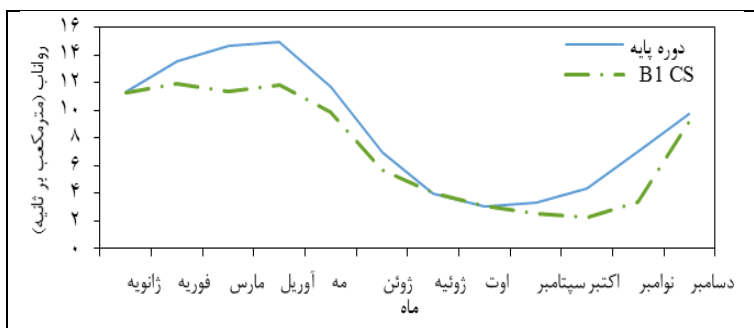
شکل ۱۶: مقایسه‌ی تغییرات رواناب ماهانه‌ی دوره‌ی پایه و دوره‌ی آینده (۲۰۵۴-۲۰۲۵) تحت سناریوی اقلیمی ترکیبی A2 CS



شکل ۱۷: مقایسه‌ی تغییرات رواناب ماهانه‌ی دوره‌ی پایه و دوره‌ی آینده (۲۰۵۴-۲۰۲۵) تحت سناریوی اقلیمی ترکیبی B1 IS



شکل ۱۸: مقایسه‌ی تغییرات رواناب ماهانه‌ی دوره‌ی پایه و دوره‌ی آینده (۲۰۵۴-۲۰۲۵) تحت سناریوی اقلیمی ترکیبی B1 MS



شکل ۱۹: مقایسه تغییرات رواناب ماهانه دوره‌ی پایه و دوره‌ی آینده (۲۰۲۵-۲۰۵۴) تحت سناریوی اقلیمی ترکیبی B1 CS

جدول ۸: میزان تغییرات رواناب (درصد) تحت سناریوهای ترکیبی در دوره‌ی آینده (۲۰۲۵-۲۰۵۴)

B1			A2			سناریوی مقیاس زمانی
CS	MS	IS	CS	MS	IS	
-۱۹/۸۴	-۱۴/۷۷	-۶/۹۰	-۲۰/۳۰	-۱۵/۹۴	-۱۰/۰۵	بهار
-۸/۹۰	-۱/۶۵	۸/۲۶	-۱۲/۵۶	-۴/۷۳	۳/۵	تابستان
-۴۳/۹۷	-۴۰/۸۴	-۳۲/۳۲	-۴۸/۶۱	-۴۱/۳۴	-۳۲/۳۱	پاییز
-۶/۵۵	-۱/۷۵	-۲/۶۵	-۱۱/۰۵	-۵/۴۴	-۱/۳۸	زمستان
-۱۷/۳۶	-۱۲/۳۶	-۵/۲۸	-۲۰/۱۸	-۱۴/۵۳	-۸/۴۹	سالانه

۵- نتیجه‌گیری

در مطالعه‌ی حاضر، اثرات تغییر اقلیم بر رواناب با استفاده از مدل هیدرولوژیکی-توزیعی WetSpa با رویکرد احتمالاتی و تحلیل عدم قطعیت برای دوره‌ی آینده (۲۰۲۵-۲۰۵۴) در حوضه‌ی رود زرد واقع در استان خوزستان مورد ارزیابی قرار گرفت. نتایج حاصل از ارزیابی اثرات تغییر اقلیم بر دما، حاکی از افزایش میانگین دمای سالانه تحت هر سه حالت ایده‌آل، متوسط و بحرانی سناریوی انتشار (B1) A2 است. همچنین نتایج حاصل از ارزیابی اثرات تغییر اقلیم بر بارندگی سالانه در دوره‌ی آتی حاکی از انتظار افزایش بارندگی برای حالت ایده‌آل سناریوی انتشار (B1) A2 به میزان ۰/۴ درصد و انتظار کاهش بارندگی برای حالت متوسط و بحرانی سناریوی انتشار (B1) A2 به ترتیب به میزان ۷/۱۷ (۴/۲۱) و ۱۵/۳۳ (۴/۶۲) پیش‌بینی شده است. علاوه بر این، نتایج حاصل از بررسی اثرات تغییر اقلیم بر رواناب، حاکی از کاهش رواناب سالانه تحت هر سه حالت ایده‌آل، متوسط و بحرانی سناریوی انتشار (B1) A2 است؛ به‌گونه‌ای که برای حالت متوسط، سناریوی انتشار A2 (B1) به عنوان سناریویی که احتمال وقوع آن بیشتر می‌باشد، به میزان ۱۴/۵۳ (۱۲/۳۶) درصد پیش‌بینی شده است که این نتایج با تغییرات افزایشی دما و کاهشی بارش تطابق دارد. از لحاظ تغییرات فصلی نیز رواناب تحت هر سه حالت سناریوی انتشار (B1) A2 بیشترین کاهش رواناب در فصل پاییز و بهار پیش‌بینی شده است. در کل نتایج این مطالعه نشان می‌دهد که تحت هر دو سناریوی انتشار A2 و B1، افزایش دما و کاهش بارش و درنتیجه کاهش رواناب در دوره‌ی آینده مورد انتظار است. میزان این افزایش دما و کاهش بارش و رواناب در سناریوی A2 به عنوان یک سناریوی بحرانی بیش از سناریوی B1 برآورد شده است که این نتیجه با ماهیت این دو سناریو تطابق دارد. درنتیجه طبق نتایج به دست آمده از این مطالعه می‌توان گفت شرایط اقلیمی حوضه‌ی رود زرد در مسیر شرایط خشک‌تر در حال تغییر است. درنتیجه با نوجّه به تغییرات پیش‌بینی شده‌ی رواناب در این حوضه در دوره‌ی آتی و با نوجّه به محدودیت منابع آب موجود در کشور، به‌منظور کاهش اثرات منفی تغییر اقلیم در آینده می‌بایست مدیران و برنامه‌ریزان در تصمیم‌گیری‌های محلی خود، از نتایج این گونه مطالعات در بهبود مدیریت منابع آب

استفاده نمایند. همچنین با نوجه به نتایج این گونه مطالعات راهکارهای سازگاری از جمله افزایش عملکرد سامانه‌های منابع آبی، تغییر الگوی کشت در این منطقه، مدیریت صحیح‌تر در رهاسازی آب سد جره در این حوضه و تغییر منحنی فرمان سد پیشنهاد می‌شود.

۶- منابع

۱. آشفته، پریسا سادات، بزرگ حداد، امید (۱۳۹۲). ارائه‌ی رویکرد احتمالاتی ارزیابی آثار تغییر آبوهوا بر بدھی رود آیدوغموش، آذربایجان شرقی، مجله‌ی مهندسی منابع آب، شماره‌ی ۱۷، صص ۵۲-۳۷.
۲. آذین‌مهر، مریم، بهرمند، عبدالرضا، کبیر، آتنا (۱۳۹۵). آنالیز حساسیت و عدم قطعیت مدل WetSpa در شبیه‌سازی هیدرولوگراف جریان با استفاده از PEST در حوزه‌ی آبخیز دینور کرخه، پژوهشنامه‌ی مدیریت حوزه‌ی آبخیز، شماره‌ی ۱۳، صص ۸۲-۷۲.
۳. الماسی، پریسا (۱۳۹۳). بررسی اثر تغییر اقلیم بر فروانی سیلاب در حوزه‌ی آبخیز بازفت، پایان‌نامه‌ی کارشناسی ارشد آبخیزداری، دانشکده‌ی منابع طبیعی، دانشگاه صنعتی اصفهان.
۴. جاویدان، نرگس، بهرمند، عبدالرضا (۱۳۹۴). تفکیک مؤلفه‌های جریان سیل توسط مدل هیدرولوژیکی - توزیعی WetSpa در حوزه‌ی آبخیز زیارت-گران، نشریه‌ی پژوهش‌های حفاظت آب‌وچاک، شماره‌ی ۵، صص ۲۶۴-۲۳۳.
۵. خدیر، محمدحسین (۱۳۹۴). بررسی رواناب حوضه‌های آبریز تحت سناریوهای تغییر اقلیم (مطالعه‌ی موردی حوضه‌ی آبریز تالار)، پایان‌نامه‌ی کارشناسی ارشد مهندسی عمران، دانشکده‌ی فنی مهندسی، دانشگاه صنعتی شهرورد.
۶. دهقانی، نوید، وفاخواه، مهدی، بهرمند، عبدالرضا (۱۳۹۲). شبیه‌سازی جریان رودخانه با استفاده از مدل هیدرولوژیکی- توزیعی Wetspa حوزه‌ی آبخیز کسیلیان، پژوهش‌های حفاظت آب‌وچاک (علوم کشاورزی و منابع طبیعی). شماره‌ی ۶، صص ۲۶۱-۲۵۳.
۷. صادقی، سید هادی، قاسمیه، هدی، ساداتی نژاد، سید جواد (۱۳۹۴). شبیه‌سازی جریان رودخانه با استفاده از مدل هیدرولوژیکی توزیعی WetSpa (مطالعه‌ی موردی- حوضه ناورود). مجله‌ی علوم و فنون کشاورزی و منابع طبیعی-علوم آب‌وچاک، شماره‌ی ۷۳، صص ۳۳-۲۳.
۸. فروتن دانش، مهتاب، بهرمند، عبدالرضا، زینی وند، حسین، اونق، مجید، نجفی نژاد، علی (۱۳۹۴). شبیه‌سازی اثرات سناریوهای توسعه‌ی مناطق مسکونی بر میزان رسوب معلق با استفاده از مدل WetSpa (مطالعه‌ی موردی: حوزه‌ی آبخیز زیارت استان گلستان)، نشریه‌ی پژوهش‌های حفاظت آب‌وچاک، شماره‌ی ۳، صص ۲۰۷-۲۲۰.
۹. قاسمی، الهه، فتاحی، ابراهیم، بابائی، ام‌السلامه (۱۳۹۲). تأثیر تغییر اقلیم بر رواناب با رویکرد عدم قطعیت مدل‌های گردش عمومی جو، مطالعات جغرافیایی مناطق خشک، شماره‌ی ۱۳، صص ۵۳-۳۷.
۱۰. قربانی، خلیل، سهرابیان، الهه، سالاری جزی، میثم، عبدالحسینی، محمد (۱۳۹۵). پیش‌بینی اثر تغییر اقلیم بر روند دبی ماهانه رودخانه با بکار بردن مدل هیدرولوژیکی IHACRES (مطالعه‌ی موردی: حوضه آبریز گالیکش). نشریه‌ی حفاظت آب‌وچاک، شماره‌ی ۴، صص ۳۴-۱۹.
۱۱. کبیر، آتنا، بهرمند، عبدالرضا (۱۳۹۲). بررسی عدم قطعیت پارامترهای مدل بارش-رواناب WetSpa با استفاده از روش مونت کارلو، مجله‌ی پژوهش‌های حفاظت آب‌وچاک، شماره‌ی ۵، صص ۹۷-۸۱.
۱۲. لکزانیان‌پور، غلامحسین، محمدرضاپور، ام‌البنی، مالمیر، مهسا (۱۳۹۵). ارزیابی آثار تغییر اقلیم بر میزان رواناب رودخانه نازلچای در حوضه‌ی آبریز دریاچه‌ی ارومیه، مجله‌ی جغرافیا و توسعه، شماره‌ی ۴۲، صص ۱۹۸-۱۸۳.
۱۳. مرادی‌پور، شهرین، بهرمند، عبدالرضا، زینی‌وند، حسین، نجفی‌نژاد، علی (۱۳۹۴). شبیه‌سازی توزیعی مکانی رواناب با استفاده از مدل WetSpa در حوضه آبخیز طالقان، پژوهشنامه‌ی مدیریت حوزه‌ی آبخیز، شماره‌ی ۱۲، صص ۶۴-۵۵.
۱۴. ناصری، عرفان، شهیدی، علی، فرزانه، محمدرضا (۱۳۹۴). ارزیابی اثرات تغییر اقلیم بر رواناب به کمک مدل بارش-رواناب SWAT (مطالعه‌ی موردی: حوضه‌ی بهشت‌آباد، کارون شمالی). نشریه‌ی سامانه‌های سطوح آبگیر باران، شماره‌ی ۳، صص ۳۸-۲۷.

۱۵. نامقی، زهرا، بهرمند، عبدالرضا، اونق، مجید، گلکاریان، علی (۱۳۹۲). شبیه‌سازی جریان رودخانه با استفاده از مدل هیدرولوژیکی- توزیعی WetSpa در حوزه‌ی آبخیز اترک، نشریه‌ی آب و خاک (علوم و صنایع کشاورزی)، شماره‌ی ۵، صص ۷۶-۱۰۶.
16. Dahal, Vaskar, Shakya, Narendra Man, Bhattacharai, Rabin (2016). Estimating the impact of climate change on water availability in Bagmati basin, Nepal, Environmental Processes, Volume 3, Issue 1, pp 1-17.
 17. De Smedt, F, Liu, Yong Bo, Gebremeskel, Seifu (2000). Hydrologic modelling on a catchment scale using GIS and remote sensed land use information. WIT Press, Volume 45, pp 295-304.
 18. Gohari, Alireza, Eslamian, Saeid, Abedi-Koupaei, Jahangir, Massah Bavani, Alireza, Wang, Ding bao, Madani, Kaveh (2013). Climate change impacts on crop production in Iran's Zayandeh-Rud River Basin, Science of The Total Environment, Volume 442, pp 405–419.
 19. Intergovernmental Panel on Climate Change (IPCC) (2001). Climate Change, the Scientific Basis. Contribution of Working Group I to the Third Assessment Report of the Intergovernmental Panel on Climate Change Cambridge University Press Cambridge U.K.
 20. Intergovernmental Panel on Climate Change (IPCC) (2007). General guidelines on the use of scenario data for climate impact and adaptation assessment. Cambridge and New York: Cambridge University Press.
 21. Karimi, Hamid, Zeinivand, Hossein, Tahmasebipour, Naser, Haghizadeh, Ali, Miryaghoubzadeh, Mirhassan (2016). Comparison of SRM and WetSpa models efficiency for snowmelt runoff simulation, Environmental Earth Sciences, Volume 75, pp 664-674.
 22. Li, Fapeng, Xu, Zongxue, Liu, Wenfeng, Zhang Yongqiang (2014). The impact of climate change on runoff in the Yarlung Tsangpo River basin in the Tibetan Plateau, Stochastic Environmental Research and Risk assessment, Volume 28, Issue 3, pp 517-526.
 23. Majone, Bruno, Bovolo, Clsabella, Bellin, Alberto, Blenkinsop, Stephen, Flowsler, H.J (2012). Modeling the impacts of future climate change on water resources for the Gállego river basin Spain, Water Resources Research, Volume 48, Issue 1, pp 1-18.
 24. Morid, Saeed, Massah Bavani, Alireza (2008). Exploration of potential adaptation strategies to climate change in the Zayandeh Rud irrigation system, Iran, Irrigation Drainage, Volume 59, Issue 2, pp 226–238.
 25. Mitchell, Timothy D (2003). Pattern scaling: an examination of accuracy of the technique for describing future climates, Climatic Change, Volume 60, Issue 3, pp 217-242.
 26. Safari, Alireza, De Smedt, F, Moreda, Fekadu (2012). WetSpa model application in the distributed model intercomparison Project (DMIP2), Journal of Hydrology, Volume 418-419, pp 78-89.
 27. Teutschbein, Claudia, Seibert, Jan (2012). Bias correction of regional climate model simulations for hydrological climate-change impact studies: review and evaluation of different methods, Journal of Hydrology, Volume 456-457, pp 12–29.
 28. Verbeiren, Boud, Van de Voorde, Tim, Canters, Frank, Binard, Marc, Cornet, Yves, Batelaan, Okke (2013). Assessing urbanisation effects on rainfall-runoff using a remote sensing supported modelling strategy, International Journal of Applied Earth Observation and Geoinformation, Volume 21, pp 92-102.
 29. Wilby, Robert.L, Harris, Ian (2006). A framework for assessing uncertainties in climate change impacts: low-flow scenarios for the River Thames, UK, Water Resources Research, Volume 42, Issue 2, pp 1–10.
 30. Wang, Zhong- Min, Batelaan, O, De Smedt, F (1996). A distributed model for water and energy transfer between soil plants and atmosphere (WetSpa), Physics and Chemistry of the Earth, Volume 21, Issue 3, pp 189-193.
 31. Zareian, Mohamad Javad, Eslamian, Saeid, Safavi, Hamid Reza (2015). A modified regionalization weighting approach for climate change impact assessment at watershed scale, Theoretical and Applied Climatology, Volume 122, Issue 3, pp 497-516.